

## 吊橋の立体構造特性パラメーターについて

大阪大学工学部 正員 小松定夫  
 大阪大学工学部 正員 西村宣男  
 大阪大学大学院 学生員○西村春久

1. まえがき 吊橋は複雑な構造物であるので、代表的なパラメーターを用いて各種構造特性を一般的に表現しようとする試みはかなり困難を伴なうものと思われる。特に最近大きさや偏心荷重を受ける道路鉄道併用橋など立体的な変形や応力の流れが卓越する形式の出現により、吊橋の設計計算に用いられる構造解析法としては、膜理論による平面解析のほかに、立体解析や有限変位変形法を導入したより厳密な方法が重要視されるようになつた。このような場合、吊橋の立体的構造特性と関係する一次量が多数存在するので、それらを全て考慮してパラメーター解析を行なうには膨大な計算量を必要とする。ところで長大吊橋においては初期の計画設計、概略設計の段階で、経験的データと直観力による最適設計へのアプローチが行なわれる。この種の作業段階において適切な経験的データが蓄積されていなければ最適設計へのアプローチを大幅に推進する原動力となる。そこで本研究においては、構造解析と次元解析の両面から吊橋の構造特性を表わす適切なパラメーターを選ば、実在の長大吊橋のパラメーター値の分布、パラメーターの力学特性に与える影響などをについて述べる。

2. 無次元パラメーター 吊橋の構造特性を表わす無次元パラメーターの数は20個以上存在し、これら全てが独立であると考えると上記の目的に副わないくなるから、力学的に有意なパラメーターの選択を行う必要がある。ひとつ手段としては、既往の長大吊橋についてパラメーターの分布領域、あるいはパラメーター間の相関性を調べる方法がある。さらにパラメーターの変動領域の両極端の値を用いて構造解析を行ない、力学特性に与える影響度によって取捨選択する。鉛直荷重、ねじり荷重、および横荷重について分類した構造特性パラメーターは表1のようになる。ここで使用している一次量は可能な限り、一般的に用いられてる記号に統一したが、詳しくは参考文献2,3)を参照されたい。またこれらのパラメーターのうち主要なものは以下の通り。実橋および計画中吊橋のパラメーター値の分布を中心径間長に対するプロットを図1に示す。このような整理によって各パラメーターの分布領域が明らかとなる。(表2)またスパン長に対する一定の傾向を示すパラメーターについて、特殊なもの(図中の黒丸)を除き、直線式を最小二乗法を用いておこなって、式を得た。

表1 つり橋の構造特性パラメーター

荷重	無次元パラメーター	変位などの無次元表示
鉛直荷重	$\pi_1 = \sqrt{\frac{H_d}{EI_x}} l, \pi_2 = \frac{l_s}{l}, \pi_3 = \frac{E_c F_c f^2}{L_e H_d l}, \pi_4 = \frac{P_y}{W_d}, \pi_5 = \frac{EI_x}{GAy l^2}$	$V_{Py} \frac{H_d}{l^2}, M_x \frac{P_y^2}{l}$ etc.
ねじり荷重	$\pi_2, \pi_3, \pi_6 = \frac{GJ}{GJ + b_e^2 H / 2}, \pi_7 = \sqrt{\frac{GJ}{\alpha}} l, \pi_8 = \sqrt{\frac{Y}{2GJ}} l, \pi_9 = \frac{b_2}{b_1}, \pi_{10} = \frac{b}{h}$	$\psi \frac{GJ}{m_t l^2}, T \frac{1}{m_t l}$ etc.
横荷重(ねじれ変形など含む)	$\pi_2, \pi_3, \pi_6, \pi_7, \pi_8, \pi_9, \pi_{10}, \pi_{11} = \sqrt{\frac{H_d}{EI_y}} l, \pi_{12} = \frac{l}{f}, \pi_{13} = \frac{n_c}{f}, \pi_{14} = \frac{m_s}{W_d}, \pi_{15} = \frac{EI_y}{GAx l^2}, \pi_{16} = \frac{P_s}{P_c}$	$u_c \frac{H_d}{P_c l^2}, u_s \frac{EI_y}{P_s l^4}$ etc.

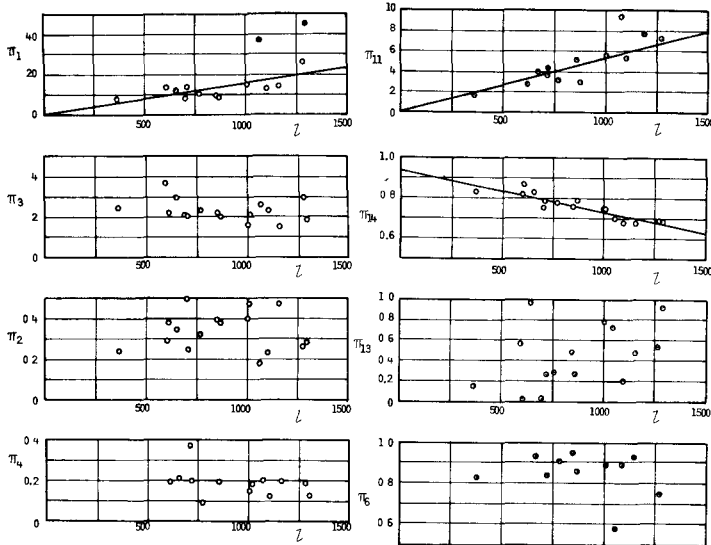


表2 パラメーターの分布範囲

$\pi_2$	0.2~0.5	$\pi_9$	0.4~0.9
$\pi_3$	1.5~3	$\pi_{10}$	2~5
$\pi_4$	0.1~0.4	$\pi_{12}$	9~11
$\pi_5$	$10^{-6} \sim 10^{-3}$	$\pi_{13}$	0~0.1
$\pi_6$	0.6~0.95	$\pi_{15}$	$10^3 \sim 10^2$

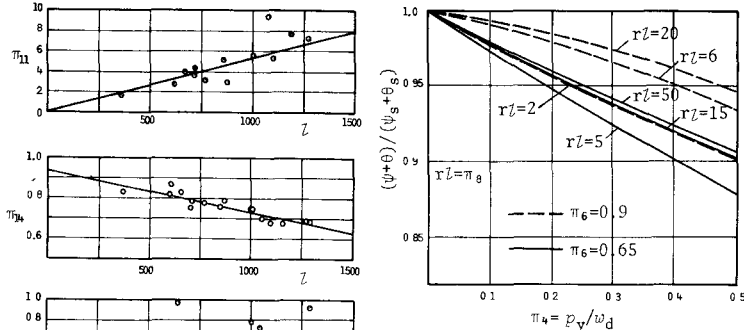


図2 偏心荷重による橋面傾斜角の連成解と非連成解の比較

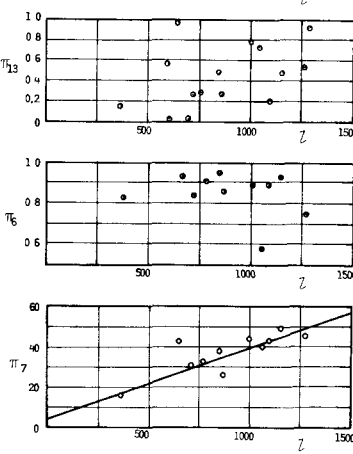


図1 実橋のパラメーター分布

吊橋を対象とした場合、鉛直荷重に対するπ₁～π₄が重要なパラメーターである。連続吊橋の中間支点上の断面力など局部的な応力に対するπ₅が影響している。ねじり荷重に関するπ₂、π₃、π₆が重要なパラメーターである。付属構造十分に剛性なれば吊橋の断面変形を生ずる。その際はπ₇～π₁₀が影響を与える。横荷重に関するπ₂、π₃、π₆、π₁₁、π₁₂、π₁₃、π₁₄が重要なパラメーターである。π₅、π₆は横構斜材力への大きさの影響を与える。

例として、偏心鉛直荷重が作用したときの橋面傾斜角( $\theta_s + \theta_d$ )について、曲げとねじりの連成解と非連成解( $\theta_s + \theta_d$ )の比較を図2に示す。また横荷重を受ける場合、吊橋に作用するせん断力を上下横構に均等配分する慣用的な方法と、付随的に生ずるねじれによる応力を考慮して場合の横構斜材力の差を図3に示す。吊橋を設計する際に、この種のデータを予備知識として蓄積しておくことは、合理的設計の実現に役立つと思われる。

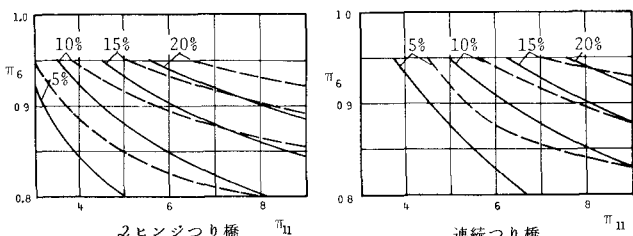


図3 横荷重による横構斜材力(慣用的解法との差)

参考文献 1) 小西一郎、世界へ長く吊橋の設計講義、昭和41年(神戸市編)

2) 小松、西村：吊橋の横面変形を考慮した吊橋の工法解析、論文報告集第4回

3) 小松、西村(著)：横荷重を受ける吊橋の工法解説、設計上、問題点、支承構造会、47年